

《報文》 HWAHAK KONGHAK Vol. 21, No. 3, 1983, pp. 167—174  
 (Journal of the Korean Institute of Chemical Engineers)

## 複合 固體 推進劑의 初期溫度가 燃燒速度에 미치는 影響에 關한 研究

睦 榮 一·許 昙 琪\*

亞洲大學校 工科大學 \*亞洲大學校 綜合研究所  
 (1982년 9월 6일 접수)

## A New Functional Relationship between Burning Rate and Initial grain Temperature in Composite Solid Propellants

Young-Il Mok and Byung-Ki Hur

Department of Chemical Engineering, College of Engineering,  
 Ajou University, Suwon 170, Korea

\*Research and Development Center, Ajou University  
 (Received; September 6, 1982)

### 要 約

複合 固體 推進劑의 燃燒에 있어서 分解領域, 氣體反應領域, 火焰領域 사이의 热傳達을 輻射 및 傳導의 두 機構로 假定함으로써, 推進劑의 燃燒速度-初期溫度-燃燒室內壓의 函數關係를,  $BR = k\tau^n \exp(-E_a\tau) (P/Z)^n$ 으로 表現하였다. 여기서,  $\tau$ 는 推進劑 初期溫度의 分數 函數로써  $\tau = 1/R \cdot (T_i + C)$ 로 表現된다.

本 研究에서는 推進劑의 初期溫度가 燃燒速度에 미치는 影響을 輻射와 傳導의 두 热傳達 機構로 說明함으로써, 初期 溫度의 影響을 計量化 하였다. 提案된 關係式은 任意의 初期溫度, 任意의 燃燒室內壓 下에서 推進 機關의 設計 및 性能 解析을 가능하게 한다.

提示된 模型의 堅實性을 實證하기 위하여 2가지 타입의 複合 固體 推進劑를 選定, 燃燒試驗을 通하여 計算值와 測定值를 比較 檢討하였다. 그 結果, 各各의 初期溫度에서, 燃燒室 内壓에 따른 燃燒速度의 測定值와 計算值 사이의 差異를 測定值에 대한 百分率로 나타내었을 때 最低 0%에서 最高 2% 사이의 分布를 이루고 있다는 것을 認知하였으며, 이 差異는 推進機關의 設計 및 性能解析에 미치는 影響은 極微하다는 것을 알 수 있었다.

### ABSTRACT

By depicting the transfer of heat and combustion reaction to take place within thin gas layers close to the propellant burning in a steady-state fashion, a new theoretical relationship has been

deduced to describe the burning rates of solid propellants as a function of initial grain temperature and chamber pressure. The proposed equation is  $BR = k\tau^n \exp(-E_a\tau)(P/Z)^n$  where  $BR$  = burning rate,  $\tau = 1/R(T_i + C)$ ,  $k, n = \text{constants}$ ,  $E_a = \text{activation energy}$ ,  $T_i = \text{initial grain temperature}$ ,  $C = \text{effective temperature rise}$ ,  $P = \text{Combustion chamber pressure}$  and  $Z = \text{mean Compressibility factor}$ .

The proposed model was tested and evaluated via strand burner data and it was found that the deviation of the computed burning rates from the measured ones ranged zero to 2%. This leads to the conclusion that the model proposed herein, both physical and mathematical, correctly represents the reality of combustion process of solid propellants, thus proving to be useful in design and performance analysis of propulsion system.

## 1. 緒論

固體推進剤의初期溫度가燃燒速度에 미치는影響은豫想했던 것보다는微少하다는것이研究結果에 의하여 잘알려져 있다. Huggett<sup>1)</sup> 및 Halzman<sup>2)</sup>等은一定한燃燒室內壓下에서그레인의初期溫度에 따른燃燒速度의變化는每 $10^{\circ}\text{C}$ 마다 $5\%$ 만이라고發表하였다.典型的固體推進剤의 경우溫度에 따른燃燒速度의變化係數는 $0.2\%/{^{\circ}\text{C}}$ 內外라는것도잘알려져 있다. 그러나이들影響이비록微少하다고할지라도ロケット가作動되는時期와장소에따라서그週邊溫度가 $-65^{\circ}\text{F}$ 에서 $165^{\circ}\text{F}$ 까지의넓은分布를이루고있기때문에,그時空에따른固體推進剤의燃燒速度는상당한차이를나타낸다. 이로말미암아,推進剤의初期溫度가높을경우에는設計된燃燒室內壓의限界值를超過하는壓力을誘發시킴으로써폭발사고에까지가능하며初期溫度가낮을경우에는點火시스템이作動한후에도그레인의燃燒가일어나지않거나燃燒가일어나는경우에도設計된性能을充足시키지못하는경우도발생하게된다. 따라서溫度變化가固體推進剤의燃燒速度에미치는影響을最小화하기위하여組成成分의測面에서의研究는물론,그燃燒mechanism의糾明에關한實驗的 그리고理論的研究가계속이루어지고있다.<sup>2,3)</sup>

Cross 및 Grimshaw<sup>5)</sup>는推進剤의初期溫度가燃燒速度에미치는影響을考慮하여式(1)을提案하였다.

$$BR = \frac{B' \cdot P^n}{T_o - T_i} \quad (1)$$

윗式에서 $T_o$ 는推進剤의組成에의하여決定되는常數로써溫度의次元을갖으며, $T_i$ 는推進剤의初期溫度이다. 그러나式(1)은推進剤의初期溫度가燃燒速度에미치는影響을實質적으로잘代辯하지못하고있으므로,實際推進機關設計에는式(1)보다는下式(2)및(3)과같이定義되는一定壓力下에서의溫度敏感度(Temperature sensitivity of pressure)혹은燃燒速度-溫度係數(Burning-rate temperature coefficient)등實驗式을이용하고있다.

$$\pi_k = \frac{100(P_2 - P_1)}{\left(\frac{P_2 + P_1}{2}\right)} / (T_2 - T_1) \quad (2)$$

$$\sigma_p = \frac{100(BR_2 - BR_1)}{\left(\frac{BR_2 + BR_1}{2}\right)} / (T_2 - T_1) \quad (3)$$

式(2)는下式(4)와같이定義되는面積比 $K_n$ 을一定하게固定시켰을때推進剤初期溫度의單位變化當燃燒室內壓의變化를백분율로나타낸것이며,式(3)은燃燒室內壓을一定하게했을때初期溫度의單位變化當燃燒速度의變化를백분율로나타낸式이다.

$$K_n = \frac{A_b}{A_t} \quad (4)$$

윗式에서 $A_t$ 는推進機關의노즐스로트(Nozzle

throat)의 面積을 意味하며,  $A_b$ 는 推進剤의 燃燒表面積을 意味한다.

本 研究는 HUR 와 MOK<sup>4)</sup>이 發表한 複合固體 推進剤의 燃燒速度 機構에 대 한 理論的 研究의 連續으로, 固體推進剤가 燃燒할 때 形成되는 分解領域, 反應領域 및 火焰領域 사이의 熱傳達 機構의 紛明을 통하여, 反應領域의 平均反應 溫度와 推進剤의 初期溫度 사이의 函數 關係를 導出함으로써 推進剤의 初期溫度가 燃燒速度에 미치는 影響을 究明하였다.

## 2. 推進剤의 初期溫度 變化에 따른 推進剤 燃燒의 特性變化

一般的으로 複合固體 推進剤의 燃燒速度는 다음과 方程式으로 表現될 수 있다.

$$BR = f(P, T_i, T_F, V_G, G, O/F, C-P, O-P) \quad (5)$$

위 式에서

$P$  : 推進機關 燃燒室內壓

$T_i$  : 推進剤의 初期溫度

$T_F$  : 燃燒火苗 溫度

$V_G$  : 燃燒表面을 지나가는 燃燒 氣體의 流速

$G$  : 推進剤 그레인의 形狀因子

$O/F$  : 酸化劑와 燃料의 混合比

$C-P$  : 推進剤의 組成 및 各成分의 重量比

$O-P$  : 酸化剤 粒子의 粒度分布

HUR 및 MOK<sup>4)</sup>의 固體 推進剤의 燃燒機構에 關한 研究 結果에 의 하면 式 (5)는 式 (6)과 같이 具體화 될 수 있다. 즉 固體 推進剤의 燃燒速度는 燃燒室內壓과 反應領域의 平均溫度의 函數로 表現된다.

$$BR = f(CP, T_i, T_F, V_G, G, O/F, C-P, O-P) \\ = k \alpha^n \exp(-E_a \alpha) (P/Z)^n \quad (6)$$

여기서  $\alpha = 1/RT_R$ 이고  $T_R$ 은 反應領域의 平均溫度,  $E_a$ 는 이 領域에서의 活性化에너지,  $Z$ 는  $T_R$ 과  $P$ 에 의 하여 決定되는 平均 壓縮 係數이다. 또한  $k$ 와  $n$ 은 常數이다.

推進剤를 燃燒表面에 수직한 方向에서 縱으로 絶斷하여 燃燒表面 近方의 溫度分布를 보면, 아직 燃燒가 일어나고 있지 않는 固體部分의 溫度

가 가장 낮고 完全히 燃燒가 일어난 燃燒 氣體層의 溫度가 가장 높게 된다. 이 두 領域 사이에 存在하는 分解領域, 反應領域 및 火焰領域의 溫度는 燃燒表面의 溫度로부터 燃燒氣體層의 溫度에 이르도록 급히 上승함을 알 수 있다. 固體 推進剤가 燃燒할 때에 각 領域에서의 溫度分布가 推進剤의 初期溫度에 따라서 Fig. 1 과 같이 形成된다고 假定하면 각 領域에서의 溫度分布는 式 (7)과 같이 表現된다.

$$T = f(x) + T_i \quad (7)$$

式 (7)에서  $x$ 는 推進剤 燃燒表面에서 부터 수직한 方向의 거리를 意味하며,  $T_i$ 는 推進剤의 初期溫度이다.

固體 推進剤가 燃燒할 때 形成되는 各 領域의 두께는 數 마이크론 以下이며,<sup>5)</sup> 燃燒表面 아주 가까이에 接근하면, 涡流 現象이 不在하다는 것은 이미 지적되었다.<sup>7,8,9)</sup> 따라서 燃燒領域內에서 熱傳達 메카니즘은 對流를 無視한 傳導와 辐射에 限한다고 해도 무리가 없다.

反應領域內에서 反應氣體의 化學反應은 發熱反應이며, 推進剤 表面의 分解反應은 吸熱反應이다. 發熱反應에 의 하여 發生된 热量은 辐射와 傳導에 의 하여 反應領域에서 부터 固體 推進剤의 表面에 도달함과 동시에 吸收되어서 分解反應을 속행시킨다. 따라서 推進機關의 燃燒室內壓이 一定한 경우에는, 發熱反應과 吸熱反應 사이에 热量的側面에서 動的 平衡을 이루게 되어 이 領域들 사이에 一定한 溫度分布 曲線을 나타

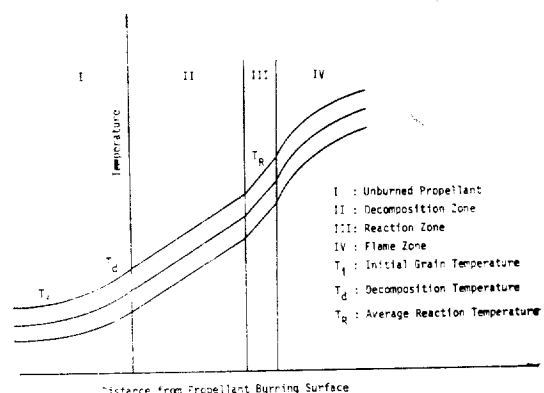


Fig. 1. Temperature Profiles Affected by Different Initial Grain Temperatures.

내게 된다. 燃燒領域의 어떤 地點에서 부터 固體 推進劑의 燃燒表面 사이의 热傳達은 다음 式과 같이 表現할 수 있다.

$$q = U \Delta T = U(T_x - T_i) \quad (8)$$

式 (8)에서  $q$ 는 热傳導率이며,  $T_x$ 는 任意의 點  $x$ 에서의 溫度,  $T_i$ 는 推進劑의 初期溫度, 그리고  $U$ 는 總括傳熱 係數로써 式 (9)와 같이 表現된다.

$$\frac{1}{U} = \sum \frac{l_i}{k_i} \quad (9)$$

여기서  $l_i$ 와  $k_i$ 는 各 燃燒領域의 두께와 有効熱傳導度를 意味한다. 만일 各 燃燒領域의 热傳達抵抗이 推進劑組成의 函數로써, 燃燒室 内壓의 變化에 無關하게 一定하다면,  $q$ 와  $U$  또한 推進劑組成의 函數로써 그組成에 따라서 一定하게 된다. 따라서 式 (8)로부터 氣體反應領域의 平均 溫度는 다음 式으로 表現된다.

$$T_R = T_i + \frac{q}{U} = T_i + C \quad (10)$$

複合 固體推進劑의 初期溫度가 燃燒速度에 미치는 影響을 紛明하기 위하여 式 (6)과 式 (10)을 組合하면 式 (11)을 얻게 된다.

$$BR = k \cdot \tau^n \exp(-E_a \tau) \cdot \left(\frac{P}{Z}\right)^n \quad (11)$$

여기서

$$\tau = \frac{1}{R(T_i + C)} \quad (12)$$

式 (11)은 推進劑의 燃燒速度를 세 개의 函數群으로 分리하여 표시된 式이다. 즉, 그레인의 初期溫度를 包含하는 推進劑 씨스템의 溫度의 函數  $\tau$ , 推進劑 固有의 反應性을 나타내는 活性化 에너지 函數 그리고 推進機關의 内壓의 函數이다.

### 3. 提案 模型의 評價

提示된 燃燒 模型의 堅實性을 立證하기 위하여 CTPB (Carboxy-terminated polybutadiene) 를 메이트릭스로 하는 2 가지 타입의 AP 複合 固體 推進劑를 選定하여, 燃燒室 및 推進劑의 初期溫度가 각각  $-40^{\circ}\text{C}$ ,  $20^{\circ}\text{C}$  및  $50^{\circ}\text{C}$  일때의 燃燒速度를 STRAND BURNER 를 사용하여 測定하였다.

하였다.

本 研究에서 選定한 固體 推進劑의 타입은 참 고문헌 (4)에서 選定되었던 타입과 同一한 것이다. 따라서 여기서는 燃燒速度 計算에 諸요한 临界壓力, 換算溫度 및  $n$ 의 值을 參고문헌 (4)에서 인용하였다. Table 1은 이들의 值을 나타내고 있다.

Table 1. Critical Pressures, Reduced Temperatures, and n-Values of Propellant Types L and N

Type \ Term	Critical Pressure (atm)	Reduced Temperature ( $T_r$ )	n-Value in Eq(11)
L	130	Higher than 3	0.348
N	131	1.30	0.407

燃燒速度 式 (11)에서  $k$ ,  $C$  및  $E_a$ 의 值을 求하기 위하여 式 (11)을 대수로 變形시키면 다음 式과 같다.

$$\ln BR = \ln k + n \ln \left( \frac{1}{R(T_i + C)} \right) - E_a \left( \frac{1}{R(T_i + C)} \right) + n \ln \left( \frac{P}{Z} \right) \quad (12)$$

그레인 初期溫度  $-40^{\circ}\text{C}$ ,  $20^{\circ}\text{C}$  및  $50^{\circ}\text{C}$ 에서 임의의 燃燒室內壓에서의 燃燒速度는 다음과 같이 表現된다.

$$\begin{aligned} \ln(BR_{233.15})_i &= \ln k + n \ln \left( \frac{1}{R(233.15 + C)} \right) \\ &\quad - E_a \left( \frac{1}{R(233.15 + C)} \right) \\ &\quad + n \ln \left( \frac{P}{Z} \right)_i \end{aligned} \quad (13)$$

$$\begin{aligned} \ln(BR_{293.15})_i &= \ln k + n \ln \left( \frac{1}{R(293.15 + C)} \right) \\ &\quad - E_a \left( \frac{1}{R(293.15 + C)} \right) \\ &\quad + n \ln \left( \frac{P}{Z} \right)_i \end{aligned} \quad (14)$$

$$\begin{aligned} \ln(BR_{323.15})_i &= \ln k + n \ln \left( \frac{1}{R(323.15 + C)} \right) \\ &\quad - E_a \left( \frac{1}{R(323.15 + C)} \right) \\ &\quad + n \ln \left( \frac{P}{Z} \right)_i \end{aligned} \quad (15)$$

式 (13)에서 式 (14)를 減하고, 測定된 모든 값에 대하여 그 關係를 적용시키면 式 (16)을 얻게 된다.

$$\frac{E_a}{R} = \left[ \frac{1}{(233.15 + C)} - \frac{1}{(293.15 + C)} \right] \\ \left[ \sum_{i=1}^k \left\{ \ln(BR_{233.15})_i - \ln(BR_{293.15})_i \right\} \right. \\ \left. - k \cdot n \left\{ \ln \frac{1}{R(233.15 + C)} - \right. \right. \\ \left. \left. - \ln \frac{1}{R(293.15 + C)} \right\} \right. \\ \left. - n \left\{ \sum_{i=1}^k \left( \ln \left( \frac{P}{Z} \right)_{233.15} - \right. \right. \right. \\ \left. \left. \left. \ln \left( \frac{P}{Z} \right)_{293.15} \right)_i \right\} \right] \quad (16)$$

위의 과정을 式 (14) 및 (15)에 적용시키면 式 (17)을 얻을 수 있다.

$$\frac{E_a}{R} = \left[ \frac{1}{(293.15 + C)} - \frac{1}{(323.15 + C)} \right] \\ \left[ \sum_{i=1}^k \left\{ \ln(BR_{293.15})_i - \ln(BR_{323.15})_i \right\} \right. \\ \left. - kn \left\{ \ln \frac{1}{R(293.15 + C)} - \right. \right. \\ \left. \left. - \ln \frac{1}{R(323.15 + C)} \right\} \right. \\ \left. - n \left\{ \sum_{i=1}^k \left( \ln \left( \frac{P}{Z} \right)_{293.15} - \right. \right. \right. \\ \left. \left. \left. \ln \left( \frac{P}{Z} \right)_{323.15} \right)_i \right\} \right] \quad (17)$$

式 (16) 및 (17)로부터  $C$  및  $E_a$ 를 구하고 이들 값을 式 (13)에 적용시키면  $k$  값을 구할 수 있다. Table 2는 各 타입의 計算된 燃燒特性를이다.

Table 2. Combustion Characteristics of Each Type of Propellant

Type	Term	$k$	$C(^{\circ}\text{K})$	$E_a(\text{cal/g-mol})$
L		190	2,040	23,950
N		117	1,530	18,174

이들 計算에 의하면 推進剤 타입 L의 경우 反應領域의 平均 溫度는 推進剤의 初期溫度에 따

라서 2,273°K에서부터 2,363°K 사이에 分布되어 있으며, 反應氣體의 活性化 에너지는 23,950 cal/g-mol인 것을 알 수 있다. 반면에 타입 N의 경우에는 反應領域의 平均反應溫度가 1,763°K에서부터 1,853°K 사이에 分布되어 있고 活性化 에너지는 L 타입의 活性化 에너지보다 낮은 18,174 cal/g-mol인 것을 알 수 있다. 또,  $n$  값으로부터 타입 L은 燃燒室 單位壓力 變化當의 燃燒速度의 變化가 타입 N에 比하여 완만하다는 것을 알 수 있다. 그레인 初期溫度가 상술한 바와 같이 平均反應溫度에 影響을 미친다는 사실은 斷熱火災 測算을 通하여서도 대략豫測할 수 있다.

Fig. 2 및 3은 推進剤 타입 L 및 N의 燃燒速度測定值와 燃燒速度式 (11)로 부터 計算된 計算值를 풀롯한 것이다. 각각의 初期溫度에서 燃燒室 內壓에 따른 燃燒速度測定值와 計算值 사이의 差異를 测定值에 대한 百分率로 나타내었을 때 最低 0%에서 最高 2%의 分布를 이루고

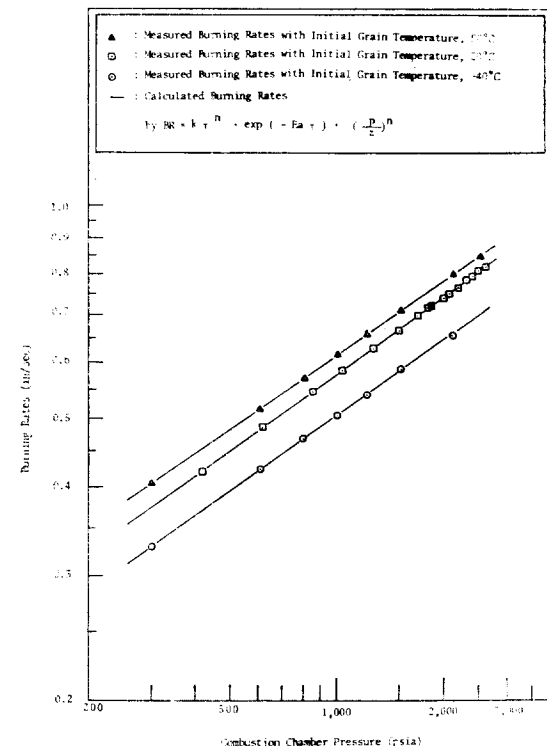


Fig. 2. Burning Rate Data of Propellant Type L, Experimental versus Computed by use of Eq. (11)

있었다. Fig. 2에서 알 수 있듯이 推進劑 타입 L에 있어서 燃燒速度와 壓力의 函數關係는 式 (18)을 만족시키고 있다.

$$BR = k' \cdot p^n \quad (18)$$

燃燒速度計算에 널리 通用되는 式 (18)은 一般式 (11)의 한 極限의 型態이다. 參考文獻 (4)의 燃燒機構에 따르면 타입 L의 경우, 燃燒時 形成되는 反應領域內에서의 反應氣體들은 比較的 現想氣體와 類似하게 行動한다. 이에 반하여 타입 N의 燃燒速度와 壓力과의 函數關係는 式 (18)에서 부터 많이 벗어나며, 壓力이 높은 경 우에는 그 벗어나는 정도가 커지는 경향을 보이고 있다. 이는 反應領域의 氣體들이 理想氣體의 行動에서 많이 벗어나고 있다는 것을 나타내는 것이다.

各 推進劑의 燃燒速度-溫度係數가 壓力과 初期溫度範圍에 따라서 變하는 傾向을 알기 위하여 式 (3)을 이용하여 그 係數를 計算하였다.

Fig. 4는 N타입 推進劑의 初期溫度範圍가

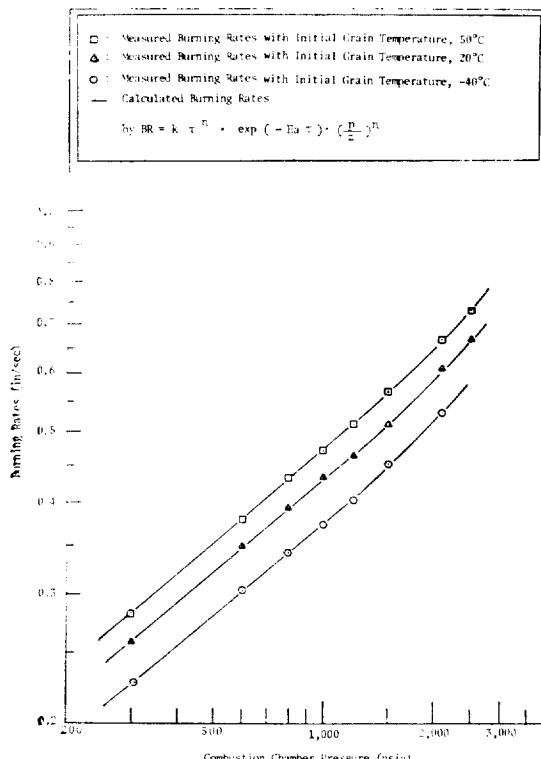


Fig. 3. Burning Rate Data of Propellant Type N, Experimental versus Computed by use of Eq. (11)

$-40^{\circ}\text{C} \sim 20^{\circ}\text{C}$ ,  $-40^{\circ}\text{C} \sim 50^{\circ}\text{C}$ , 및  $20^{\circ}\text{C} \sim 50^{\circ}\text{C}$  인 경우에 있어서 燃燒速度-溫度係數( $\sigma_p$ )이며 Fig. 5는 같은 初期溫度範圍에서 타입 L의 燃燒速度-溫度係數를 나타내고 있다. 이 結果에 의하면, 타입 N인 경우에는 初期溫度範圍 및 燃燒室內壓에 따라서 그 係數가 最高  $0.15\%/\text{ }^{\circ}\text{C}$ 의 差異를 나타내고 있다. 반면 타입 L인 경우에는 같은 初期溫度範圍에서는 壓力變化에 따라 燃燒速度-溫度係數의 變化를 發見할 수 없었으며, 같은 壓力에서 初期溫度範圍에 따른 燃燒速度-溫度係數值의 變化 또한 크게 나타나지 않았다. 그러나 타입 N의 推進劑를 어떤 推進機關에 사용할 경우 그 機關의 設計 및 性能解析에 있어서 어떤 初期溫度範圍의 燃燒速度-溫度係數를 사용하느냐에 따라서 그 結果에 상

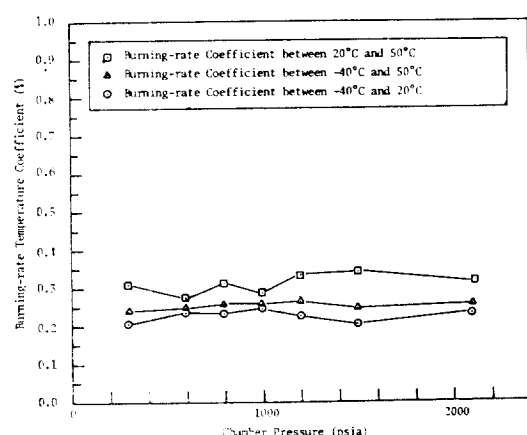


Fig. 4. Chamber Pressure vs. Burning-rate Temperature Coefficient of Propellant Type N

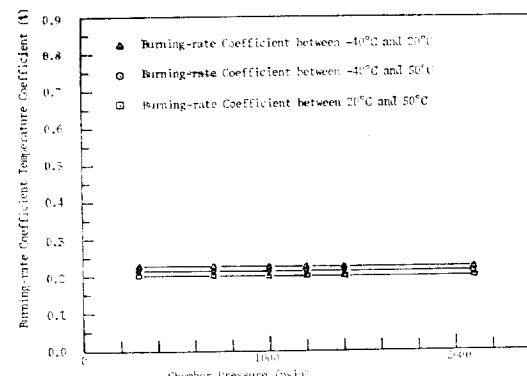


Fig. 5. Chamber Pressure vs. Burning-rate Coefficient of Propellant Type L

당한 差異를 보일 것이다.

本 研究는 燃燒速度를 初期溫度 및 燃燒室 内  
壓의 函數로 表示함으로써 任意의 初期溫度, 任  
意의 燃燒室 内壓下에서 推進機關의 設計 및 性  
能 解析을 가능하게 하였다. 初期溫度 및 燃燒  
室內壓이 燃燒速度에 미치는 影響을 燃燒機構로  
써 紛明함으로써, 燃燒速度에 影響을 미치는 다  
른 因子들의 效果를 先驗의 및 實驗的으로 數式  
化, 計量化 할 수 있는 基礎를 마련하였다. 式  
式 (11)은 資料의 貯藏 및 回收(Data storage  
and Retrieval)의 運用한 수단으로 간주할 수도  
있다.

#### 4. 結 論

複合 固體 推進剤의 初期溫度가 燃燒速度에 미  
치는 影響에 대한 理論的 實驗的研究를 通하여  
얻은 結果를 다음과 같이 要約할 수 있다.

(1) 本 研究에서 提示한 燃燒 및 熱傳達 機構  
에 의하여 誘導된 燃燒速度式은 實測值를 잘 代  
替하고 있다.

(2) 推進剤 組成中 Aluminum의 含量이  
16 wt%인 타입 L의 경우에는 反應領域의 平均  
溫度 및 活性化 에너지가 Aluminum의 含量이  
4 wt%인 타입 N 경우보다 높게 나타났다.

(3) 燃燒速度-溫度係數는 初期溫度의 範圍에  
따라서 相異한 값을 나타내었다.

(4) 推進剤 타입 N인 경우 燃燒室 内壓에 따  
라서 燃燒速度-溫度係數가 變하나 그 變化 程度  
는 初期溫度 範圍에 의한 것보다 훨씬 작았다.

(5) 推進剤 타입 L인 경우에는 燃燒室 内壓  
의 變化가 燃燒速度-溫度係數에 거의 影響을 미  
치지 않았다.

#### Nomenclature

$A_b$  Burning surface area of propellant, in<sup>2</sup>.

$A_t$  Area of nozzle throat, in<sup>2</sup>

$BR$  Burning rate, in/sec

$C$  Effective temperature difference, °K

$C-P$  Chemical formulation of propellant

$E_a$  Activation energy of gas reaction in reac  
tion zone

$G$  Propellant grain shape factor

$k, k'$  Constants of Combustion characteristics

$K_n$  Area ratio

$n$  Constant of Combustion characteristics

$O/F$  Oxidizer-fuel mixture ratio

$O-P$  Oxidizer particle size

$P$  Combustion chamber pressure, psia

$R$  Universal gas constant, cal/g·mol°K

$T_F$  Combustion flame temperature, °K

$T_i$  Initial grain temperature, °K

$T_R$  Average gas temperature of reaction zo  
ne, °K

$V_G$  Transverse velocity of combustion gases  
across burning surface, in/sec

$Z$  Compressibility factor

$\sigma_p$  Burning rate temperature coefficient, %/  
°K

$\pi_k$  Temperature sensitivity of pressure, %/  
°K

#### REFERENCES

1. C. Huggett, Section M. Combustion of Solid Propellants, p. 565, Princeton, N. T., Princeton University Press(1956).
2. R. T. Halzman, Chemical Rockets and Flame and Explosion Technology, Marell Dekker INC. New York and London(1969).
3. F.A. Warren, Rocket Propellants, Reinhold Publishing Corporation, New York (1960).
4. B.K. Hur and Y.I. Mok, A New Approach to the Burning Rate Correlation of Solid Propellants, J. of KICHE, in press (1983).
5. A.D. Crow and W.E. Grimshaw, The Combustion of Colloidal Propellant, Trans. Roy. Soc. London, A230, 387(1932).
6. J.B. Levy and R. Friedman, Symp. Combust. Pasadena, Calif., 1960, 663(1962).
7. R.B. Cole and J. Wenograd, Princeton University, Aerospace Mech. Su. Report

- 446—0(June 1965). University(1958).  
8. G.S. Sutherland, Ph.D. Thesis, Princeton 9. H. Silla, ARS J. 31, 1277(1961).